

# ТРАНСПОРТНОЕ И ЭНЕРГЕТИЧЕСКОЕ МАШИНОСТРОЕНИЕ

621.43

## НОВЫЕ ПОДХОДЫ К ОЦЕНКЕ ТРИБОЛОГИЧЕСКИХ СВОЙСТВ ЭНЕРГОСБЕРЕГАЮЩИХ МОТОРНЫХ МАСЕЛ

*Д-р техн. наук, проф. С.В. ПУТИНЦЕВ, канд. техн. наук, доц. С.А. АНИКИН, асп. А.В. СИНЮГИН*

*В продолжение ранее опубликованных зависимостей взаимосвязи механических потерь и частоты вращения поршневого двигателя представлены выведенные аналитическим путем и уточненные формулы, связывающие температуру трения с мощностью трения в сопряжениях цилиндро-поршневой группы и кривошипно-шатунного механизма поршневого двигателя. Достоверность формул подтверждена удовлетворительной сходимостью с результатами заводских экспериментов на дизелях ЗИЛ-645 и Д-120.*

*As a follow up to previously published articles on dependences characterizing the interconnection of mechanical losses and rotational speed of the reciprocating engine we present a series of specified constructive formulas linking the temperature of friction with the power of it in mating of cylinder-piston group and the connecting rod gear of the reciprocating engine. Reliability of formulas is confirmed by satisfactory convergence with results of factory experiments on injection engines ZIL-645 and D-120.*

Появление на авторынке России так называемых энергосберегающих моторных масел повлекло за собой проблему надежного тестирования их служебных свойств, главным из которых выступает повышенная способность снижения трения смазываемых деталей и сокращения за счет этого расхода топлива в двигателе. Следует особо отметить, что максимальный уровень энергосбережения при использовании этих смазочных материалов в целом не превышает 3%, поэтому оценка данного показателя существующими методами, основанными на измерении расхода топлива и имеющими, как известно, сходную величину погрешности, выглядит методически некорректной. Требуется поиск новых подходов к тестированию энергосберегающих моторных масел.

Цель исследования — разработка теоретических основ альтернативного, не связанного с замером расхода топлива, способа оценки трибологических свойств энергосберегающих моторных масел в условиях стендовых испытаний двигателей внутреннего сгорания (ДВС).

**Задачи и подходы к их решению.** При разработке теории метода ставится задача получения основных взаимосвязей между мощностью механических потерь и рядом легко и надежно определяемых при эксперименте в ходе стендовых моторных испытаний параметров, изменение которых с точки зрения физики должно быть прямым следствием изменения механических потерь. Как следует из анализа опыта экспериментальных исследований трибологических свойств материалов для ДВС, к таким параметрам могут быть отнесены: 1) частота вращения коленчатого вала и 2) температура трения стенки цилиндра и/или подшипника. Непременным условием использования этих параметров в

качестве аргументов для определения функции механических потерь должно быть теоретическое обоснование и соответствующее аналитическое выражение связи каждого из названных параметров с трением, т.е. механическими потерями поршневого двигателя.

**Взаимосвязь мощности механических потерь и частоты вращения коленчатого вала ДВС.** Из рассмотрения классических соотношений между мощностью трения, силой трения и скоростью с очевидностью следует, что для режима холостого хода, когда индикаторная мощность тождественно равна мощности механических потерь, при уменьшении силы трения скорость движения или, что одно и то же, частота вращения будет возрастать, и, наоборот, при увеличении силы трения скорость (частота вращения) будет падать. Количественные зависимости между механическими потерями и частотой вращения коленчатого вала ДВС при допущении независимости от скоростного режима индикаторного КПД и линейности характеристики холостого хода были получены в работе [1].

**Выход зависимостей для оценки тепловыделения и температуры трения в ЦПГ.** В исследовании [2] на основе применения метода анализа размерностей была выведена формула для приращения температуры на поверхности раздела трущихся тел:

$$\Delta T = C \frac{fNv}{(\tilde{\lambda} + \lambda_1 Pe)L}, \quad (1)$$

где  $C$  — отношение скорости выделения тепла к сумме скоростей отвода и накопления тепла в движущейся поверхности;  $fNv$  — произведение коэффициента трения  $f$  на нормальную нагрузку  $N$  и скорость  $v$ , имеющее физический смысл мощности трения;  $\tilde{\lambda}$  — среднее значение коэффициента теплопроводности двух контактирующих тел 1 и 2;  $\lambda_1$  — коэффициент теплопроводности первого (движущегося) тела;  $Pe$  — число Пекле;  $L$  — характерная длина.

Использование формулы (1) осложнено необходимостью задания трудноопределимого параметра  $C$ , отсутствием интерпретации характерной длины  $L$  применительно к трущимся деталям ДВС, существенной зависимостью числа  $Pe$  от скорости движения  $v$ .

Для решения задачи, исходя из геометрии данного сопряжения, вполне допустимо применить расчетную схему, представляющую из себя развертку цилиндра (рис. 1).

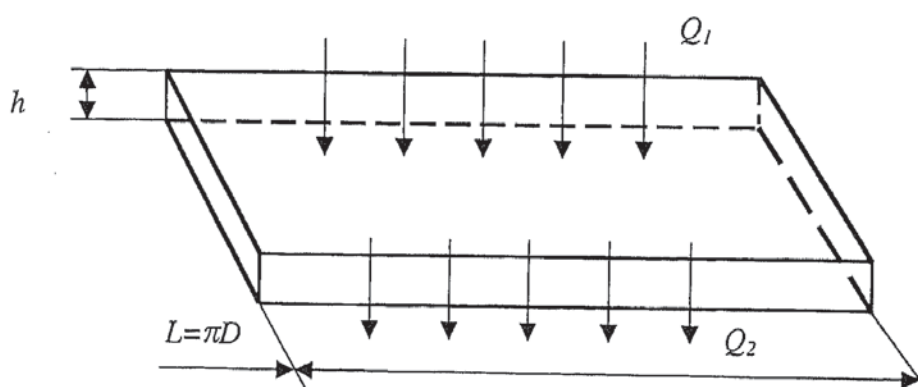


Рис. 1. Расчетная схема к выводу формулы для температуры трения в сопряжении «поршень—цилиндр»:  
 $h$  — толщина стенки цилиндра;  $L$  — длина окружности цилиндра

Передача тепла в этом случае описывается одномерным уравнением теплопроводности Фурье

$$\frac{\partial T}{\partial t} = a \frac{\partial^2 T}{\partial x^2}, \quad (2)$$

где  $T$  — температура;  $t$  — время;  $a$  — коэффициент температуропроводности;  $x$  — координата в направлении передачи тепла.

Для установившегося режима справедливо  $\frac{\partial T}{\partial t} = 0$ .

Тогда вместо (2) получаем обыкновенное дифференциальное уравнение вида

$$\frac{d^2T}{dx^2} = 0. \quad (3)$$

Краевые условия, согласно рис. 2, где представлен поперечный разрез стенки цилиндра, следующие: слева (при  $x = 0$ ) — заданный поток тепла  $-\lambda T'(0) = Q_1$  (далее по тексту просто  $Q$ ); справа (при  $x = h$ ) — теплообмен по закону Ньютона  $\lambda \frac{dT}{dx} + \alpha(T - T_2) = 0$  (где  $\alpha$  — коэффициент теплоотдачи материала стенки цилиндра).

Как следует из рис. 2, неизвестной является температура трения  $T_1$ , а  $T_2$  представляет собой известную температуру внешней окружающей среды.

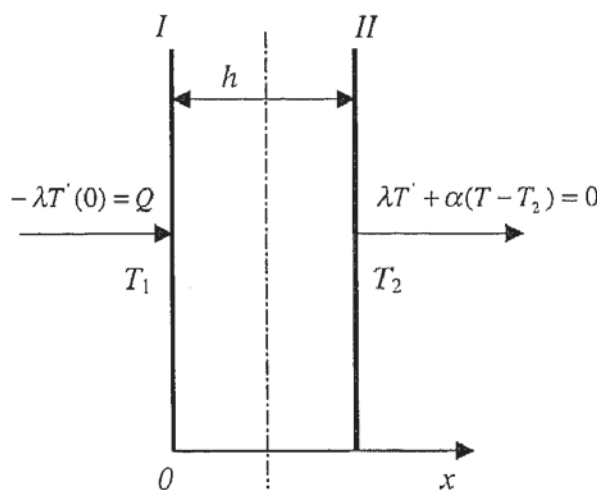


Рис. 2. Поперечный разрез стенки цилиндра: I, II (1, 2) — признак внутренней и наружной поверхностей соответственно

Решение уравнения (3) при указанных краевых условиях находится как

$$T(x) = \frac{Q}{\lambda}(h - x) + \frac{Q}{\alpha} + T_2.$$

Подставляя в это выражение значение  $x = 0$ , определяем искомую температуру трения на внутренней поверхности стенки цилиндра  $T_1$ , а затем (после очевидных преобразований) — приращение температуры трения  $\Delta T$

$$\Delta T = T_1 - T_2 = Q \left( \frac{1}{\alpha} + \frac{h}{\lambda} \right). \quad (4)$$

Определим входящий сомножителем в (4) поток тепла  $Q$ , обусловленный трением.

При трении выделяется тепло, эквивалентное мощности трения  $W = fNv$ . Поток тепла — это тепло, проходящее за единицу времени через единицу площади поверхности. Кроме того, надо учесть, что на нагревание цилиндра идет только часть общего тепла

трения. Обозначая эту часть коэффициентом  $c_1$ , получим выражение для потока тепла трения от поверхности поршня к цилинду

$$Q = c_1 \frac{W}{2\pi r L}, \quad (5)$$

где  $r, L$  — радиус и длина поршня соответственно.

Подставляя (5) в (4), окончательно имеем

$$\Delta T = c_1 \frac{W}{2\pi r L} \left( \frac{1}{\alpha} + \frac{h}{\lambda} \right). \quad (6)$$

При расчете  $\Delta T$  необходимо учесть положение точки, в которой определяется прирост температуры трения по высоте цилиндра. Например, если точка замера лежит вблизи ВМТ или НМТ (верхняя и нижняя мертвые точки, в которых поршень имеет нулевую скорость), то тепловой поток от трения занимает незначительную долю времени хода поршня и поэтому будет меньшим, нежели вычисленный по формуле (5). Таким образом, для уточнения расчета надо ввести еще один коэффициент, характеризующий относительное время трения в точке замера:

$$c_2 = \frac{t_f}{t_c},$$

где  $t_f$  — время трения за один ход поршня;  $t_c$  — время, за которое совершается один ход поршня.

Заметим, что и среднюю скорость движущегося тела надо брать не обычную (как, например, среднюю скорость поршня  $c_n$ ), а среднюю за время контактирования поршня с точкой замера в стенке цилиндра. Эта скорость (обозначим ее  $v_f$ ), умноженная на время трения  $t_f$ , дает путь трения  $S_f$ . Тогда, с учетом ранее введенного коэффициента  $c_2$  справедливо:

$$c_2 v_f = \frac{t_f v_f}{t_c} = \frac{S_f}{t_c} = \frac{S_f c_n}{t_c c_n} = \frac{S_f c_n}{S} = \frac{S_f c_n}{2R}, \quad (7)$$

где  $S$  — полный ход поршня;  $R$  — радиус кривошипа коленчатого вала.

Поскольку мощность трения определяется произведением  $W = fNv_f$ , то с учетом (7) формула для приращения температуры трения в точке замера после преобразований обретет вид

$$\Delta T = c_1 \frac{WS_f}{4\pi r RL} \left( \frac{1}{\alpha} + \frac{h}{\lambda} \right). \quad (8)$$

В (8) входит неизвестный пока путь трения  $S_f$  поршня с кольцами относительно точки замера температуры трения. Для анализа этой ситуации и определения пути трения необходимо рассмотреть три случая.

Первый случай:  $2R > L$ , т.е. радиус кривошипа  $R$  больше половины длины поршня  $L$  (рис. 3, а).

Если координата точки замера температуры  $y_0$  такова, что

$$y_0 = L, \text{ то } S_f = y_0;$$

$$L = y_0 = 2R, \text{ то } S_f = L;$$

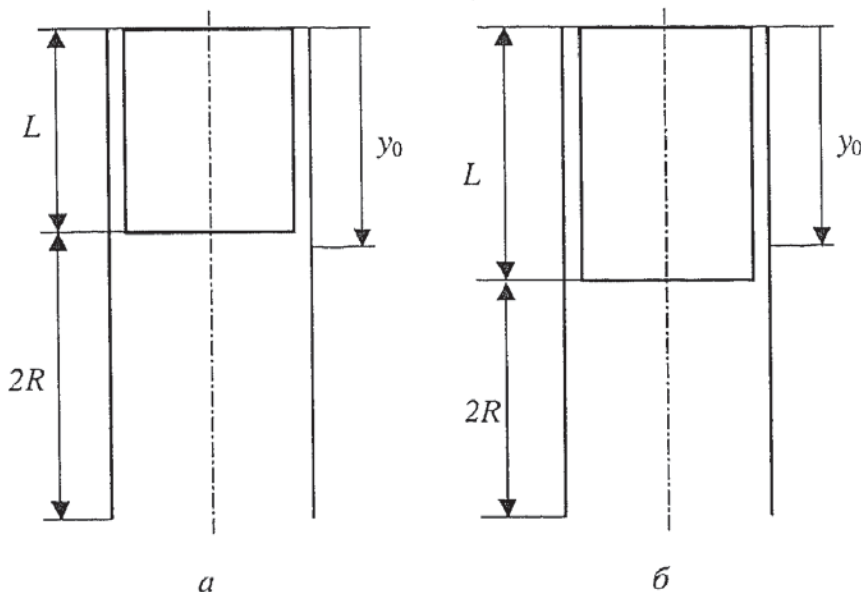


Рис. 3. Схема к определению пути трения поршня относительно координаты точки замера температуры  $y_0$  по высоте цилиндра:  $a — 2R > L$ ;  $b — 2R \leq L$

$$y_0 = 2R, \text{ то } S_f = 2R + L - y_0.$$

Заметим, что когда координата точки замера  $y_0$  расположена в середине цилиндра ( $L = y_0 = 2R$ ), формула (8) приобретает вид

$$\Delta T = c_1 \frac{W}{4\pi r R} \left( \frac{1}{\alpha} + \frac{h}{\lambda} \right). \quad (9)$$

Второй случай:  $2R < L$ , т.е. радиус кривошипа меньше половины длины поршня (рис. 3, б).

Если координата точки замера  $y_0$  такова, что

$$y_0 = L, \text{ то } S_f = 2R + L - y_0;$$

$$2R = y_0 = L, \text{ то } S_f = 2R;$$

$$y_0 = 2R, \text{ то } S_f = y_0.$$

В этом случае, если точка замера  $y_0$  расположена в середине цилиндра ( $2R = y_0 = L$ ), формула (8) сводится к виду

$$\Delta T = c_1 \frac{W}{2\pi r L} \left( \frac{1}{\alpha} + \frac{h}{\lambda} \right). \quad (10)$$

Третий случай:  $2R = L$ , т.е. радиус кривошипа равен половине длины поршня (рис. 3, б).

Если координата точки замера  $y_0$  такова, что

$$y_0 = L, \text{ то } S_f = y_0;$$

$$y_0 = L, \text{ то } S_f = 2L - y_0.$$

Из приведенного выше следует, что при расположении координаты точки замера в середине цилиндра ( $y_0 = L = 2R$ ) можно пользоваться любой из формул: (9) или (10), поскольку значения, вычисленные по этим формулам, совпадают.

Так как при выводе формул (8)–(10) нигде не использовалась природа поступающего потока тепла  $Q$ , а сами формулы линейны относительно  $Q$ , то они остаются справедливыми и для случая, когда в начальный период через стенку цилиндра уже проходил поток тепла. Отсюда следует, что указанные формулы можно применять и для экспериментов на двигателе в рабочем режиме.

Оценим достоверность вычислений температуры трения по формулам (8)–(10) на основе сопоставления с имеющимися экспериментальными данными завода-изготовителя дизеля 8Ч 11/11,5 (ЗИЛ-645).

Входные данные:

- длина поршня  $L = 120$  мм;
- радиус кривошипа  $R = 57,5$  мм;
- мощность трения в ЦПГ (на частоте 1200 мин<sup>-1</sup>)  $W = 1,27$  кВт;
- температура трения в точке замера  $T_0 = 145$  °C;
- температура воздуха в боксе  $T_2 = 20$  °C;
- толщина стенки цилиндра  $h = 8$  мм;
- коэффициент теплопроводности чугуна  $\lambda = 87$  Вт/м·К;
- коэффициент теплоотдачи чугуна  $\alpha = 120$  Вт/м<sup>2</sup>·К;
- доля тепла трения, передаваемая от поршня к цилиндуру  $c_1 = 0,5$ .

Так как для параметров этого двигателя выполняется условие  $2R < L$  и  $2R < y_0 < L$ , то для оценки приращения температуры трения выбираем формулу (10). Подставляя в нее значения соответствующих величин, получаем

$$\Delta T = 0,5 \frac{1270}{2 \cdot 3,14 \cdot 0,0575 \cdot 0,120} \left( \frac{1}{120} + \frac{0,008}{87} \right) = 123^{\circ}\text{C}.$$

Экспериментальное приращение температуры трения составило:  $\Delta T = 145 - 20 = 125$  °C. Таким образом, относительная погрешность расчета температуры трения по формуле (10) может быть оценена как  $(125 - 123)/125 = 0,016$  или 1,6%.

В [3] приведена формула для расчета температуры трения в цилиндрическом подшипнике

$$\Delta T = \frac{W}{\rho q c + 2\pi r L \alpha}, \quad (11)$$

где  $\rho$  — плотность смазочного материала;  $q$ ,  $c$  — торцевый расход и теплоемкость смазки в подшипнике;  $r$ ,  $L$  — радиус и осевая длина подшипника соответственно.

Проблема использования формулы (11) состоит в сложности определения объемного торцевого расхода через зазор цилиндрического подшипника  $q$ . Решение можно получить, если обратиться к известной работе А. Камерона в разделе гидродинамики цилиндрических подшипников [4]. В этом исследовании приведена формула для торцевого расхода, справедливая для случая, когда отношение  $D/L$  заключено в пределах от 1 до 4:

$$q = uL\Delta\varepsilon, \quad (12)$$

где  $u$  — окружная скорость;  $\Delta, \varepsilon$  — радиальный зазор и относительный эксцентрикитет подшипника соответственно.

С учетом (12) и того, что окружная скорость вала подшипника равна

$$u = \pi rn / 30,$$

где  $n$  — частота вращения вала, мин<sup>-1</sup>, формулу (11) можно привести к виду

$$\Delta T = \frac{30W}{\pi r L (\rho \Delta \varepsilon c n + 60\alpha)}. \quad (13)$$

Для проверки достоверности расчетов по (13) воспользуемся данными [5], где приведено значение мощности механических потерь  $W = 235$  Вт в центральном коренном вподшипнике дизеля 2Ч 10,5/12 (Д-120) при частоте вращения  $n = 2000$  мин<sup>-1</sup>. Принимая следующие значения:

- плотность моторного масла  $\rho = 870$  кг/м<sup>3</sup>;
- теплоемкость масла  $c = 1680$  Дж/кг·К;
- радиус и длина подшипника  $r = 0,035$  м и  $L = 0,032$  м соответственно;
- коэффициент теплоотдачи моторного масла  $\alpha = 120$  Вт/м<sup>2</sup>·К;
- радиальный зазор  $\Delta = 5 \cdot 10^{-5}$  м;
- относительный эксцентрикитет  $\varepsilon = 1$

и подставляя их в (13), найдем

$$\Delta T = \frac{30 \cdot 235}{3,14 \cdot 0,035 \cdot 0,032 (870 \cdot 0,00005 \cdot 1 \cdot 1680 \cdot 2000 + 60 \cdot 120)} = 13 \text{ }^{\circ}\text{C}.$$

Полученное значение в целом соответствует приводимым в [3] приращениям температуры трения для цилиндрических подшипников в сходных условиях нагружения.

## Выводы

1. Как следует из анализа предшествующего опыта исследований, для надежной оценки трибологических свойств энергосберегающих моторных масел нужно развивать новые подходы, основанные на физической взаимосвязи трения с характерными параметрами двигателя. К таким параметрам могут быть отнесены: частота вращения коленчатого вала и температура трения стенки цилиндра и/или подшипника.

2. На основе применения и решения уравнения теплопроводности Фурье выведена и проверена на достоверность зависимость, связывающая приращение температуры трения в заданной точке стенки цилиндра с мощностью трения и теплофизическими параметрами материалов сопряжения.

3. С привлечением теории гидродинамической смазки применительно к условиям смазки коренного подшипника ДВС выполнено уточнение известной зависимости, связывающей мощность и температуру трения в цилиндрическом подшипнике.

## СПИСОК ЛИТЕРАТУРЫ

1. Путинцев С. В., Анкин С. А., Синюгин А. В. Анализ и установление взаимосвязи между изменением механических потерь и скоростного режима поршневого двигателя // Известия вузов. Машиностроение. — № 4. — 2005. — С. 49—55.
2. Чихос Х. Системный анализ в трибонике: Пер. с англ. С.Х. Харламова. — М.: Мир, 1982. — С. 351.
3. Воскресенский В. А., Дьяков В. И. Расчет и проектирование опор скольжения (жидкостная смазка): Справочник. — М.: Машиностроение, 1980. — 224 с.
4. Камерон А. Теория смазки в инженерном деле / Пер. с англ. В.А. Боронина; Под ред. В.К. Житомирского. — М.: Машгиз, 1962. — 294 с.
5. Путинцев С. В., Анкин С. А., Сун Лисинъ. Моделирование и расчет затрат мощности на преодоление трения в подшипниках коленчатого вала поршневого двигателя // Известия вузов. Машиностроение. — 2004. — № 3. — С. 23—31.